



شیمی کانی و زمین‌دما-فشار‌سنگی متابازیت‌های مجموعه آذرین-دگرگونی ماجراد (جنوب‌شرق شاهرود)

مرضیه ویس‌کرمی^{۱*}، محمود صادقیان^۱، حبیب‌الله قاسمی^۱ و مینگو جای^۲

(۱) گروه پترولئومی و زمین‌شناسی اقتصادی، دانشکده علوم زمین، دانشگاه صنعتی شاهرود، شاهرود، ایران

(۲) گروه پترولئومی، مؤسسه زمین‌شناسی و ژئوفیزیک آکادمی علوم چین، پکن، چین

دریافت مقاله: ۱۳۹۷/۰۴/۰۲، پذیرش: ۱۳۹۷/۱۰/۲۲

چکیده

مجموعه دگرگونی-آذرین ماجراد به سن نئوپروتزوژوئیک پسین، در جنوب‌شرق شاهرود و شمال پهنه ساختاری ایران مرکزی رخمنون دارد که طیف وسیعی از سنگ‌های آذرین و دگرگونی را شامل می‌شود. متابازیت‌های این مجموعه متشکل از آکتینولیت‌شیست، آمفیبولیت و گارنت آمفیبولیت هستند. آمفیبول، پلازیوکلاز و گارنت کانی‌های اصلی این سنگ‌ها هستند. آمفیبول‌های متابازیت‌های این مجموعه به گروه کلسیم‌دار تعلق دارند. ترکیب آمفیبول در آکتینولیت‌شیست‌ها آکتینولیت و منیزیوهوربنلند و در آمفیبولیت‌ها منیزیوهوربنلند و چرم‌ماکیت است. پلازیوکلازها اغلب دارای ترکیب الیگوکلاز، لابرادوریت تا بیتونیت هستند. با استفاده از دما-فشار‌سنگی زوج هوربنلند-پلازیوکلاز، دمای تعادلی ۴۵۰ تا ۶۹۰ درجه سانتی‌گراد و فشار ۴ تا ۱۱ کیلوبار برای آمفیبولیت‌های مجموعه آذرین-دگرگونی ماجراد برآورد شده است. این شرایط دما-فشار با شرایط رخساره آمفیبولیت در رژیم دگرگونی نوع بارروین متعارف مطابقت می‌کند.

واژه‌های کلیدی: متابازیت، نئوپروتزوژوئیک پسین، شیمی کانی، زمین‌دما-فشار‌سنگی، آمفیبول، پلازیوکلاز، شاهرود

مقدمه

در ک درست فرایندها و تحولات دگرگونی و همچنین بازسازی محیط ژئوپیاسامیکی حائز اهمیت است. آمفیبول یکی از کانی‌های مهم در بررسی‌های دما-فشار‌سنگی است که در طیف وسیعی از سنگ‌های بازیک، حدواتسط و دگرگونی حضور دارد (Robinson, 1982; Spear, 1993; Martin 2007; Bucher and Grapes, 2011). این کانی در طیف دمایی ۴۰۰ تا ۱۱۵۰ درجه سانتی‌گراد و فشار ۱/۵ تا ۱۲ کیلوبار پایدار است (Hammerstrom and Zen, 1986).

مدل‌های دما-فشار‌سنگی بر اساس تعادل بین کانی-کانی (Andersen and Lindsley, 1988; Beattie, 1993; Holland and Blundy, 1994; Anderson and Smidt, 1995; Putirka, 2008; Putirka, 2016) سودمند برای برآورد دما، فشار و تکامل شیمیابی در فرایندهای زمین‌شناسی هستند. متابازیت‌ها یکی از مهم‌ترین سنگ‌های تشکیل‌دهنده نوارهای کوه‌زایی و دگرگونی هستند. بررسی ترکیب و شرایط دما-فشار تشکیل این سنگ‌ها در شناخت و

نخستین بار به بررسی دما و فشار تشکیل متابازیت‌های این مجموعه می‌پردازد.

موقعیت زمین‌شناسی

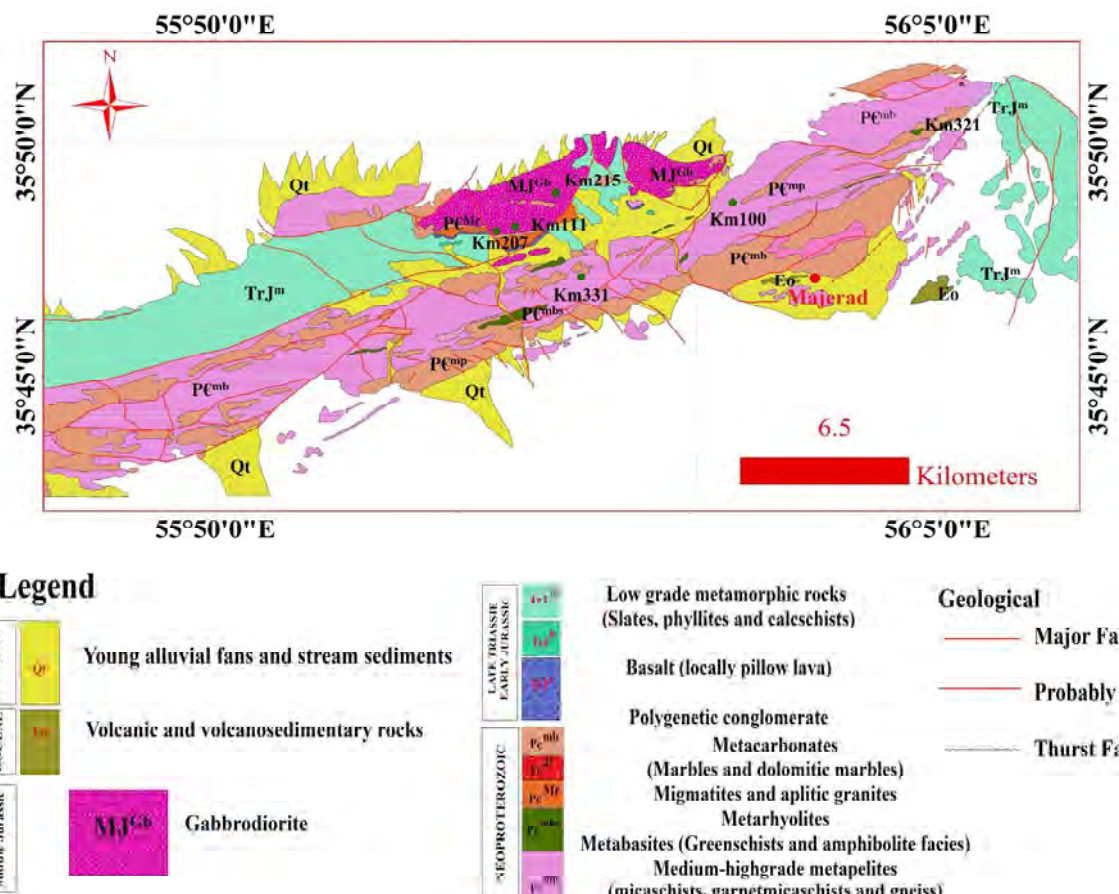
مجموعه دگرگونی-آذرین ماجراجد با روند شمال‌شرق-جنوب‌غرب به طول تقریبی ۴۰ و عرض ۱۰ کیلومتر در جنوب‌شرق شاهروド و در حاشیه شمالی پهنه ایران مرکزی قرار گرفته است. این مجموعه شامل طیف گسترهای از سنگ‌های دگرگونی و آذرین است. سنگ‌های دگرگونی این مجموعه شامل متاکربنات‌ها، متابازیت‌ها، متاپلیت‌ها، متاپسامیت‌ها و متاریولیت‌ها است. با توجه به بررسی‌های سنجی به روش اورانیوم-سرپ (U-Pb) بر روی زیرکن‌های جدا شده از متابازیت‌های این مجموعه، سن نوپرتوزوژئیک Veiskarami پسین (ادیاکارن) برای این مجموعه محرز است (et al., 2018b). سنگ‌های دگرگونی و آذرین مجموعه ماجراجد در برخی مناطق به وسیله توالی رسوبی-تخربی به سن Veiskarami اواخر تریاس-اوایل ژوراسیک پوشیده شده‌اند (et al., 2018a). توالی مزبور در ژوراسیک میانی تحت تأثیر کوهزایی سیمیرین میانی، دگرگونی درجه پایینی از نوع دما-فشار پایین، در حد رخساره شیست‌سیز را متتحمل شده است و به اسلیت، فیلیت، میکاشیست، آهک‌های دوباره تبلوریافته و شیست‌سیز (متابازیت‌های حاصل از دگرگونی بازالت‌ها) تحول یافته است. در برخی نقاط، ماگماتیسم بازی ژوراسیک میانی به صورت توده‌های نفوذی کوچک مقیاس گابرو‌دوریتی یا دسته دایک‌های دیابازی، مجموعه‌های دگرگونی-آذرین نوپرتوزوژئیک پسین و همچنین توالی رسوبی-تخربی (یا مجموعه دگرگونی) ژوراسیک را قطع کرده‌اند (Veiskarami et al., 2018a) (شکل ۱). هم‌زمان با این حادث، دگرگونی دینامیکی ناشی از فازهای زمین‌ساختی به ایجاد زون‌های برشی و میلونیتی شدن سنگ‌های دگرگونی این مجموعه منجر شده است. با توجه به بررسی‌های سن‌سنجی حسن‌زاده و همکاران (Hassanzadeh et al., 2008)

مختلف موجود در جایگاه‌های بلورشناسی آمفیبول‌ها تابع عوامل مختلفی مانند دما، فشار و فوگاسیته اکسیژن است. بنابراین با توجه به مقادیر این عناصر، می‌توان به شرایط دما و فشار تشکیل این کانی پی‌برد. مجموعه این ویژگی‌ها موجب شده است تا پژوهشگران به طور وسیعی از این کانی در بررسی‌های دما-فشار‌سنجی استفاده کنند و معادلات تجربی و کالیبراسیون‌های متعددی بر پایه این کانی پایه‌ریزی شود.

سرزمین‌های پی‌سنگی در اغلب نقاط ایران به استثنای زون کپه‌داغ، مکران و فلیش شرق ایران، کم و بیش رخمنون دارند. بررسی‌های گسترهای بر روی این مناطق انجام شده است که از آن جمله می‌توان به رحمتی ایلخچی و همکاران (Rahmati et al., 2011)، بلالی اینالو و همکاران (Balaghi Einalou et al., 2012)، فرامرزی و همکاران (Faramarzi et al., 2014)، منظمی‌باقرزاده و همکاران (Monazzami Bagherzadeh et al., 2015)، حسینی و همکاران (Hosseini et al., 2015)، ملک‌پور علمداری و همکاران (Malekpour-Alamdari et al., 2017) اشاره کرد. رخمنون‌های متعددی از این سرزمین‌ها در شمال پهنه ساختاری ایران مرکزی به ویژه در جنوب‌شرق شاهروд یافت می‌شوند که از آن جمله می‌توان به مجموعه آذرین-دگرگونی دلبر، شمال‌غرب احمدآباد، غرب رضا آباد، شمال‌شرق میامی، شترکوه، بندهزارچاه، جنوب دوچاه و ماجراجاد اشاره کرد. بررسی این مناطق با ویژگی‌های گندوانایی در بازسازی تاریخچه زمین‌شناسی ایران در بازه زمانی نوپرتوزوژئیک پسین-کامبرین و در ارتباط با کوهزایی دیاکارن در خور اهمیت بوده است و می‌تواند در درک تحولات بخش گندوانایی ایران مفید باشد. مجموعه دگرگونی-آذرین ماجراجد در ۱۵۰ کیلومتری جنوب‌شرق شاهرود و شمال پهنه ساختاری ایران مرکزی در بردارنده طیف وسیعی از سنگ‌های آذرین و دگرگونی نوپرتوزوژئیک پسین است. متابازیت‌ها حجم زیادی از سنگ‌های دگرگونی این مجموعه را به خود اختصاص داده‌اند. این پژوهش برای

این فرایند تشکیل می شوند اغلب به حاشیه های هسته دگرگونی محدود می شوند. در حالی که بررسی مجموعه آذرین-دگرگونی ماجرا دیدن می دهد که میلونیتی شدن در کل منطقه حادث شده و سنگ های دگرگونی و آذرین را با هم تحت تأثیر قرار داده است.

گرانیتی میلونیتی شده متعلق به کنگلومرای قاعده توالي ژوراسیک، این پژوهشگران اذعان داشتند که یکی از فازهای زمین ساختی اصلی به میلونیت زایی در اوخر نوپروتروزوئیک منجر شده است. با توجه به ماهیت مجموعه های هسته دگرگونی^۱ این احتمال نیز وجود دارد که در جریان بالا آمدگی نیز میلونیت زایی صورت گرفته یاشد؛ اما میلونیت هایی که در جریان



شکل ۱. نقشه زمین‌شناسی ساده شده مجموعه آذرین-دگرگونی ماجرا د است. موقعیت نمونه‌های انتخاب شده برای آنالیز مایکروپریوب با دایره سبز بر روی آن نشان داده شده است.

Fig. 1. Simplified geological map of the Majerad igneous-metamorphic complex which illustrated based on Google Earth image and field observations. Sample locations of the selected samples for microprobe analysis are indicated by green closed circle on this map.

داده اند و به صورت میان لایه با واحد های متاپلیتی و متapsamیتی به صورت طیف سنگی شیست سبز تا گارنیت آمفیبولیت یافت

متبازیت ها حجم عده ای از سنگ های مجموعه دگرگونی- آذرین نوپروتروزوئیک پسین ماجرا د را به خود اختصاص

حاشیه به صورت متناظر بین آمفیبیول و پلازیوکلاز انتخاب شدند. آنالیز مایکروپروب^۱ کانی‌ها با استفاده از دستگاه ریزپردازنده ۱۵KV JXA-8230 در شرایط آزمایش شامل ولتاژ State Key Laboratory of Lithospheric Evolution, Northwest University Xian, China انجام شد. برای بررسی ویژگی‌های ژئوشیمیایی متابازیت‌ها، ۱۰ نمونه سنگ با کمترین میزان دگرسانی انتخاب شدند و در مؤسسه زمین‌شناسی و ژئوفیزیک آکادمی علوم چین مورد تجزیه شیمیایی قرار گرفتند. مقادیر عناصر اصلی به روش XRF و عناصر کمیاب به روش ICP-OES و ICP-MS تعیین شدند که نتایج آنها در جدول ۳ ارائه شده است.

سنگ‌نگاری

متابازیت‌های مجموعه دگرگونی-آذرین نوپرتوزوژئیک پسین ماجرا دارد. آنالیز مایکروپروب شیست، آمفیبیول و گارنت آمفیبیولت هستند. آمفیبیول، پلازیوکلاز و گارنت کانی‌های اصلی، زیرکن، آپاتیت و اکسیدهای آهن-منگنز کانی‌های فرعی و کلریت، اپیدوت، کلسیت و اسفن کانی‌های ثانویه این سنگ‌ها را تشکیل می‌دهند. آمفیبیول به عنوان مهم‌ترین کانی تشکیل‌دهنده این سنگ‌ها به صورت بلورهای درشت، منشوری و دوکی‌شکل به رنگ سبز تیره تا قهوه‌ای مشاهده می‌شود (شکل ۳، A-۳، C و D). پلازیوکلاز به صورت بلورهای متوسط تا ریزبلور، نیمه‌شکل دار تا بی‌شکل در زمینه و به صورت ادخال در بلورهای آمفیبیول و گارنت حضور دارد. گارنت اغلب نیمه‌شکل دار تا بی‌شکل با ادخال‌هایی از کوارتز، پلازیوکلاز و اپیدوت در گارنت آمفیبیولت‌ها مشاهده می‌شود (شکل ۳-B). این سنگ‌ها بافت پورفیربلاستی، نماتوبلاستی و درهم فرورفته نشان می‌دهند. شواهد بارز دگریختی از قبیل برگ‌وارگی، خطوط‌وارگی، چین‌خوردگی، تشکیل بلورهای ماهی شکل آمفیبیول، خم‌شدگی و انحلال فشاری در این متابازیت‌ها به وفور مشاهده می‌شود (شکل ۳-C).

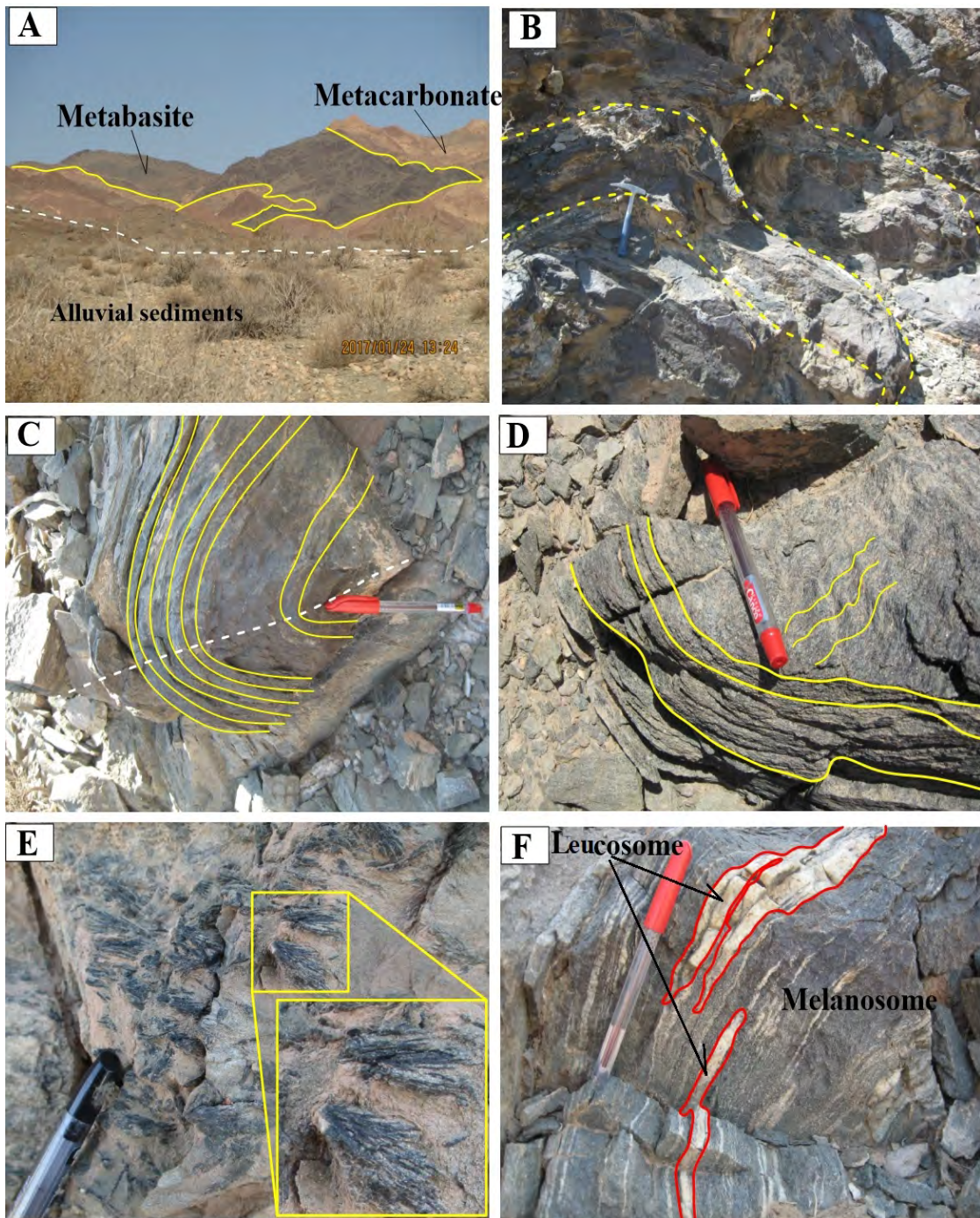
می‌شوند (شکل ۲-A). بر اساس مشاهدات صحرایی و داده‌های ژئوشیمیایی، سنگ‌های مادر متابازیت‌ها، توده‌های نفوذی کوچک مقیاس با ترکیب گابریو تا دبوریت، روانه‌های بازالتی زیردریایی و سنگ‌های آتشفسانی-تخربی وابسته بوده‌اند (Veiskarami et al., 2018b).

رنگ این سنگ‌ها اغلب سیاه تا سبز تیره بوده و اندازه دانه‌ها از ریزدانه تا درشت‌دانه متغیر است (شکل ۲). در برخی مناطق، در این متابازیت‌ها چین‌ها و ریزچین‌های متعددی در مقیاس میکروسکوپی و مزوسکوپی توسعه یافته است، متابازیت‌های مجموعه دگرگونی-آذرین ماجرا دارد اغلب دارای برگ‌وارگی و خطوط‌وارگی کاملاً بارزی هستند (شکل ۲-C و D). اکتینولیت‌شیست‌ها اغلب ریزدانه با ساخت توده‌ای هستند. اندازه آمفیبیولیت‌ها اغلب ریزدانه با ساخت توده‌ای هستند. اندازه بلورهای آکتینولیت در برخی از آکتینولیت‌شیست‌ها به چند سانتی‌متر می‌رسد که در سطح سنگ به صورت ساختارهای انگشتی و پاپیونی مشاهده می‌شود (شکل E-۲). شواهدی از تفرقی دگرگونی به صورت لوکوس‌های سرشار از کوارتز و پلازیوکلاز (بسته‌های تونالیتی) در آمفیبیولت‌ها مشاهده می‌شود (شکل F-۲).

روش مطالعه

برای انجام بررسی‌های پتروگرافی، تعداد ۱۵۰ مقطع نازک از متابازیت‌های منطقه ماجرا تهیه شد و به وسیله میکروسکوپ پلاریزان مورد بررسی قرار گرفتند. پس از انجام بررسی‌های دقیق پتروگرافی، برای انجام بررسی‌های دما-فشار-سنگی و شیمی‌کانی‌ها، تعداد ۷ عدد مقطع نازک-صیقلی (سه مقطع از آکتینولیت‌شیست‌ها و چهار مقطع از آمفیبیولت‌ها) برای آنالیز مایکروپروب انتخاب شدند که تعداد ۸۰ نقطه از آمفیبیول‌ها و ۲۰ نقطه از پلازیوکلازها مورد آنالیز قرار گرفتند (جدول‌های ۱ و ۲)، موقعیت نمونه‌های آنالیز شده بر روی نقشه مشخص شده است. برای انجام بررسی‌های دما-فشار-سنگی از آمفیبیول‌های در تماس با پلازیوکلازها استفاده شد و نقاط آنالیز شده از هسته به

1. Electron Probe Micro-Analysis (EPMA)



شکل ۲. تصاویری از ویژگی‌های بارز متابازیت‌های مجموعه آذرین-د گرگونی ماجراد، A: دورنمایی از همراهی متابازیت‌ها و متاکربنات‌ها، B: تصویری از ساختار بالشی حفظ شده در آمفیبولیت‌ها، C و D: توسعه چین و ریز چین‌ها در آمفیبولیت‌ها، E: آکتینولیت‌های درشت دارای ساختار پاپیونی در آکتینولیت‌شیست‌ها و F: نوارهای تفریقی ناشی از تفرقی د گرگونی که به تشکیل نوارهای لوکوسوم و ملانوسوم در آمفیبولیت‌ها منجر شده است.

Fig. 2. Significant features of metabasites of Majerad igneous-metamorphic complex, A: The landscape of association of the metabasites and metacarbonates, B: Preserved pillow structure in amphibolites, C and D: Extension Fold and microfolds in amphibolites, E: Large crystals of actinolites with papion structure in actinolite chists, and F: Differentiated bands due to the Metamorphic differentiation which resulted in formation of leucosome and melanosome bands in amphibolites.

جدول ۱. نتایج آنالیز مایکروپروب کانی پلاژیوکلаз در متابازیت‌های مجموعه آذرین-دگرگونی ماجرد

Table 1. Microprobe analyses of plagioclase mineral in metabasites of the Majerad igneous-metamorphic complex.

Spots	Core to rim			Core to rim			Core to rim		
SiO₂	61.06	61.55	63.75	61.06	63.75	63.52	58.77	51.15	64.52
TiO₂	0.01	0.07	0.16	0.01	0.16	0.00	0.00	0.02	0.07
Al₂O₃	23.48	23.78	22.27	23.48	22.27	22.34	25.40	30.43	22.02
FeO	0.10	0.15	0.35	0.10	0.35	0.00	0.00	0.06	0.11
MnO	0.00	0.00	0.00	0.00	0.00	0.00	0.00	0.01	0.00
MgO	0.00	0.01	0.04	0.00	0.04	0.00	0.03	0.00	0.00
CaO	5.44	5.52	3.99	5.44	3.99	4.10	7.74	13.91	3.65
Na₂O	8.47	8.32	9.43	8.47	9.43	9.16	7.53	3.52	9.81
K₂O	0.05	0.08	0.04	0.05	0.04	0.08	0.06	0.04	0.06
Total	99.10	100.04	100.37	99.10	100.37	99.48	99.73	99.26	100.94
Si	2.75	2.74	2.82	2.75	2.57	2.58	2.40	2.34	2.84
Ti	0.00	0.00	0.01	0.00	0.00	0.00	0.00	0.00	0.00
Al	1.24	1.25	1.16	1.24	1.06	1.07	1.22	1.64	1.14
Fe⁺³	0.00	0.01	0.01	0.00	0.01	0.00	0.00	0.00	0.00
Mn	0.00	0.00	0.00	0.00	0.02	0.14	0.27	0.00	0.00
Mg	0.00	0.00	0.00	0.00	0.70	0.55	0.46	0.00	0.00
Ca	0.26	0.26	0.19	0.26	0.17	0.18	0.34	0.68	0.17
Na	0.74	0.72	0.81	0.74	0.74	0.72	0.60	0.31	0.84
K	0.00	0.00	0.00	0.00	0.00	0.00	0.00	0.00	0.00
Or	0.30	0.46	0.21	0.30	0.12	0.27	0.20	0.24	0.35
Ab	73.55	72.72	80.60	73.31	45.42	45.10	35.83	31.33	82.64
An	26.15	26.82	19.19	26.39	54.46	54.63	63.98	68.43	17.00

جدول ۲. نتایج آنالیز مایکروپریوب کانی آمفیبول در متابازیت های مجموعه آذرین-د گرگونی ماجرا

Table 2. Microprobe analyses of amphibole mineral in metabasites of the Majerad igneous-metamorphic complex.

Spots	Core to rim			Core to rim			Core to rim			Core to rim		
SiO₂	46.31	44.4 7		45.02	43.97	44.73	42.69	42.30	42.63	43.00	45.41	44.19
TiO₂	0.20	0.33		0.33	0.38	0.26	0.55	0.53	0.48	0.44	0.29	0.40
Al₂O₃	9.79	12.5 8		12.37	12.15	11.87	14.73	14.87	15.08	14.17	11.47	13.35
Fe₂O₃	6.03	5.71		6.13	6.15	5.40	4.80	3.86	5.40	6.12	6.79	6.40
FeO	9.86	10.3 4		10.39	11.11	10.87	10.36	11.85	10.10	8.97	8.95	9.00
MnO	0.19	0.15		0.13	0.20	0.19	0.21	0.31	0.19	0.16	0.25	0.18
MgO	11.44	10.0 9		10.18	9.63	10.28	9.96	9.11	9.58	10.33	10.91	10.24
NiO	0.01	0.00		0.08	0.00	0.00	0.00	0.00	0.00	0.00	0.01	0.00
CaO	11.81	11.7 5		11.71	11.61	11.92	11.85	11.90	11.51	11.48	11.28	11.25
Na₂O	0.45	0.39		0.51	0.62	0.49	0.70	0.63	0.74	0.67	0.50	0.59
K₂O	0.17	0.28		0.27	0.28	0.22	0.86	0.90	0.79	0.79	0.42	0.35
H₂O*	2.03	2.02		2.04	2.01	2.02	2.02	2.00	2.02	2.02	2.04	2.03
Total	98.27	98.1 1		99.15	98.10	98.25	98.72	98.26	98.51	98.14	98.49	98.11
Si	6.84	6.60		6.61	6.57	6.64	6.32	6.33	6.32	6.38	6.69	6.53
Al^{IV}	1.16	1.40		1.39	1.43	1.36	1.68	1.67	1.68	1.62	1.31	1.47
Al^{VI}	0.55	0.79		0.75	0.71	0.72	0.90	0.95	0.95	0.85	0.68	0.85
Ti	0.02	0.04		0.04	0.04	0.03	0.06	0.06	0.05	0.05	0.03	0.05
Fe³⁺	0.67	0.64		0.68	0.69	0.60	0.53	0.44	0.60	0.68	0.75	0.71
Fe²⁺	1.22	1.28		1.28	1.39	1.35	1.28	1.48	1.25	1.11	1.10	1.11
Mn	0.02	0.02		0.02	0.03	0.02	0.03	0.04	0.02	0.02	0.03	0.02
Mg	2.52	2.23		2.23	2.14	2.28	2.20	2.03	2.12	2.28	2.40	2.25
Ca	1.87	1.87		1.84	1.86	1.90	1.88	1.91	1.83	1.82	1.78	1.78
Na	0.13	0.11		0.14	0.18	0.14	0.20	0.18	0.21	0.19	0.14	0.17
K	0.03	0.05		0.05	0.05	0.04	0.16	0.17	0.15	0.15	0.08	0.07
(Ca+Na) (B)	2.00	1.98		1.99	2.00	2.00	2.00	2.00	2.00	2.00	1.94	1.96
Na (B)	0.13	0.11		0.14	0.14	0.10	0.12	0.09	0.17	0.18	0.14	0.17
(Na+K) (A)	0.03	0.05		0.05	0.09	0.08	0.24	0.26	0.19	0.17	0.08	0.07
Mg/(Mg+Fe²⁺)	0.67	0.64		0.64	0.61	0.63	0.63	0.58	0.63	0.67	0.68	0.67
Fe⁺³/(Fe⁺³+Al^{VI})	0.55	0.45		0.47	0.49	0.46	0.37	0.31	0.39	0.44	0.52	0.45

جدول ۳. آنالیز شیمیایی سنگ کل متابازیت‌های مجموعه آذرین-دگرگونی ماجراد

Table 3. Whole rock chemical analysis of metabasites of the Majerad igneous-metamorphic complex.

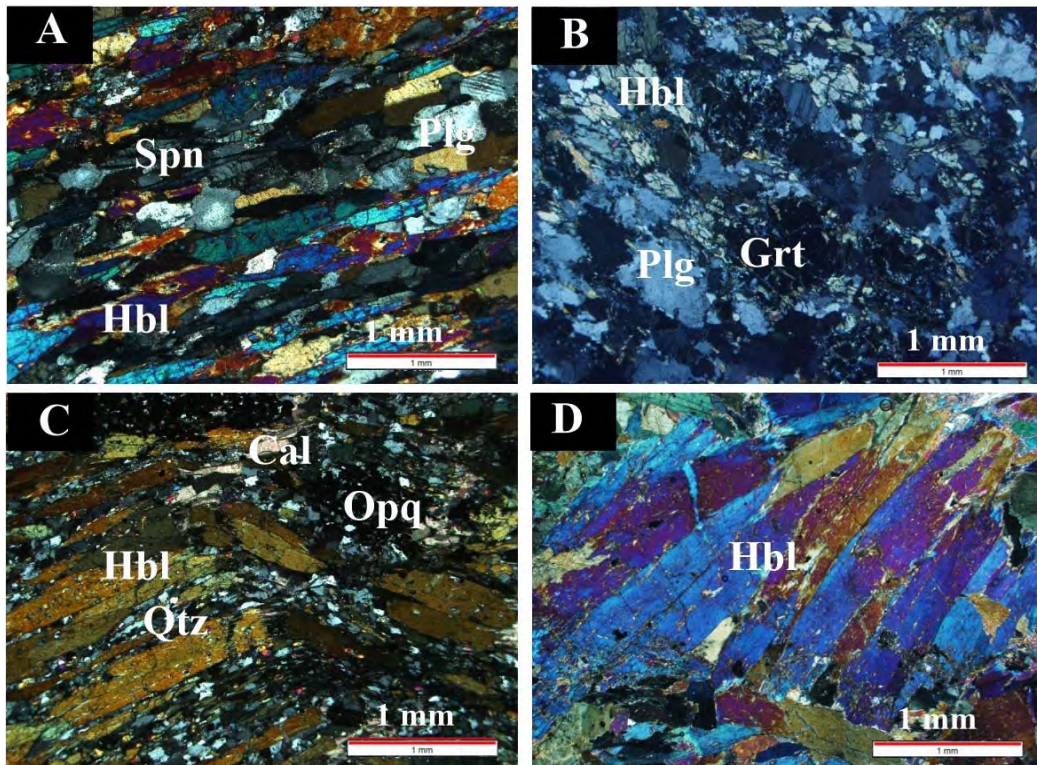
Sample No.	KM290	KM90	KM80	KM214	KM213	KM26	KM100	KM11	KM147	KM352
SiO₂	43.07	44.49	44.68	45.13	48.06	45.89	47.09	47.65	49.63	51.13
TiO₂	2.81	2.38	2.15	3.49	0.78	2.68	3.06	1.27	1.29	0.52
Al₂O₃	13.51	16.02	16.95	14.09	16.31	14.2	14.61	15.37	14.68	15.61
Fe₂O₃t	16.71	14.26	13.26	16.85	7.48	13.44	13.8	11.02	9.91	9.59
MnO	0.19	0.23	0.14	0.18	0.13	0.2	0.16	0.17	0.21	0.16
MgO	4.73	6.32	6.03	4.14	9.14	5.5	7.15	6.83	6.04	7.72
CaO	8.21	7.94	6.79	7	12.57	10.89	9.3	10.68	8.46	9.06
Na₂O	3.00	1.52	3.22	2.92	2.17	2.01	1.53	1.92	1.30	1.98
K₂O	0.67	1.13	0.54	1.39	0.22	0.46	0.65	1.13	1.00	1.15
P₂O₅	0.46	0.32	0.27	0.54	0.08	0.34	0.34	0.14	0.22	0.08
LOI	5.82	4.36	5.38	3.44	2.48	3.14	1.88	2.42	5.82	1.9
Total	99.18	98.98	99.41	99.17	99.42	98.74	99.56	98.60	98.56	98.90
Hf	0.49	0.36	0.24	0.38	1.44	0.62	0.49	0.49	0.44	0.49
Ta	3.51	2.24	1.63	3.47	0.25	2.12	1.9	0.42	0.77	0.30
Th	5.19	2.54	1.94	4.95	1.1	2.46	2.34	0.567	5.18	3.62

آمفیبول در برابر Si که بر اساس میزان کاتیون‌های Mg/(Mg+Fe⁺)² می‌باشد، اصلی موجود در آمفیبول‌ها ترسیم شده است، نمونه‌های آنالیز شده در آکتینولیت‌شیست‌ها در محدوده آکتینولیت و منیزیوهوربنلند قرار می‌گیرند؛ در حالی که ترکیب آمفیبول‌های موجود در آمفیبول‌های در محدوده منیزیوهوربنلند و چرمائیت واقع شده است (شکل ۴). نمونه‌های آنالیز شده از آمفیبول‌های منطقه ماجراد در نمودار A(Al^{IV})/(Na+K) در برابر Leake et al., 1997 و فرمول استاندارد A₂B₂C₅O₂₂(OH)₂ بر پایه اکسیژن و ۱۳ کاتیون در موقعیت چهار وجهی و هشت وجهی (برای اعداد کثوردیناسیون ۴ و ۶) محاسبه شده است (جدول ۲).

آمفیبول مهم‌ترین کانی مافیک موجود در متابازیت‌های مجموعه دگرگونی-آذرین ماجراد است. در مجموع حدود ۸۰ نقطه از این کانی مورد آنالیز نقطه‌ای قرار گرفت. محاسبه فرمول ساختاری آمفیبول‌ها بر اساس روش لیک و همکاران (Leake et al., 1997) و فرمول استاندارد A₂B₂C₅O₂₂(OH)₂ بر پایه اکسیژن و ۱۳ کاتیون در موقعیت چهار وجهی و هشت وجهی (برای اعداد کثوردیناسیون ۴ و ۶) محاسبه شده است (جدول ۲). بر اساس رده‌بندی لیک و همکاران (Leake et al., 1997) ترکیب آمفیبول‌های مورد بررسی در گروه آمفیبول‌های کلسیم‌دار قرار می‌گیرند (شکل ۴). در نمودار

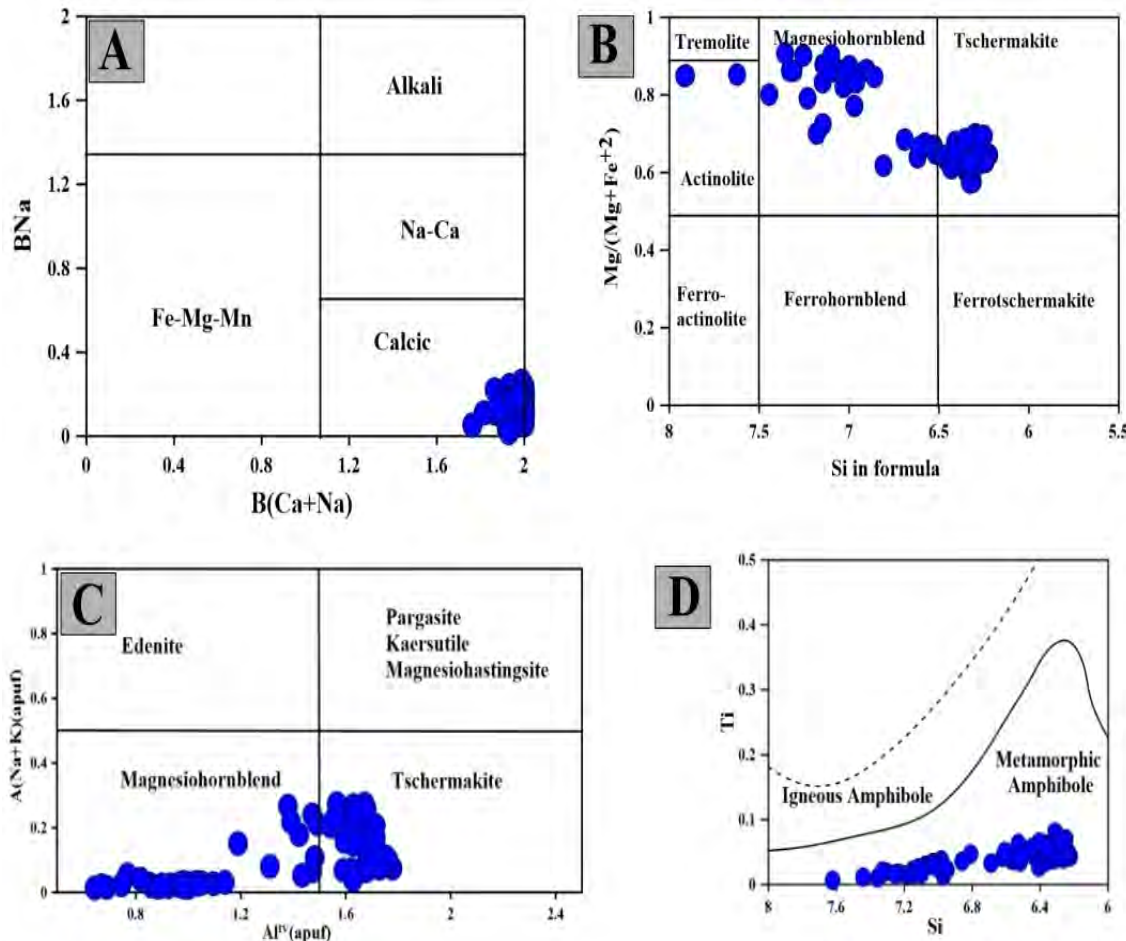
شیست سبز) ترکیب آمفیبولهای آکتینولیت شیست ها از نوع آکتینولیت بوده و با افزایش دما و فشار حاکم بر محیط وقوع فرایند دگرگونی (رخساره آمفیبولیت)، ترکیب آمفیبولهای به منیزیو هورنبلند تا چرماتیت تغییر می یابد. با توجه به نوع سنگ در برگیرنده آمفیبولیت های آنالیز شده و ویژگی های پتروگرافی و صحرایی متابازیت ها با افزایش دما و فشار، ترکیب آمفیبولهای از آکتینولیت به چرماتیت تحول یافته است. آکتینولیت ها در سنگ های متابازیتی با درجه دگرگونی کمتر (آکتینولیت شیست و شیست های سبز) و چرماتیت در سنگ های متابازیتی درجه بالاتر (آمفیبولیت و گارنت آمفیبولیت) تشکیل شده اند.

Robinson, 1982; Spear, 1993; Martin, 2007; (Bucher and Grapes, 2011; Molina et al., 2015 در دمای های پایین تر دگرگونی (فشار بالا) آمفیبولهای سدیک جایگزین هورنبلند می شوند (Poli and Schmidt, 1992; Schmidt, 1992; Ernst and Liu, 1998; Bucher and Grapes, 2011). در شرایط پایین تر دما و فشار دگرگونی در رخساره شیست سبز، هورنبلند به وسیله آکتینولیت جایگزین می شود (Spear, 1993; Bucher and Grapes, 2011). روند مشاهده شده در آمفیبولهای متابازیت های ماجرا داد، با روند آمفیبولهای دارای ماهیت تشکیلی دگرگونی هماهنگ است (شکل ۴). در دمای ها و فشار های پایین دگرگونی (در حد



شکل ۳. تصاویری از ویژگی های بارز میکروسکوپی متابازیت های مجموعه آذرین - دگرگونی ماجرا داد (در نور XPL). A: بافت نماتوبلاستی در آمفیبولیت ها، B: حضور گارنت و هورنبلند در گارنت آمفیبولیت ها، C: بلورهای ماهی شکل و خم شدگی هورنبلند در آمفیبولیت ها و D: درشت هورنبلند در آمفیبولیت ها. علایم اختصاری از کرتز (Kretz, 1983) اقتباس شده است (Qtz: کوارتز، Plg: پلاژوکلاز، Hbl: هورنبلند، Grt: گارنت، Cal: کلسیت، Opq: کانی های تیره و Spn: اسفن).

Fig. 3. Photomicrographs of typical microscopic features of the metabasites of the Majerad igneous – metamorphic complex (XPL), A: Nematobelastic texture in amphibolites, B: Garnet and amphibole in garnet amphibolites, C: Amphibole fishes and kink band in amphibolites, and D: Porphyroblasts of amphibole in amphibolites. Abbreviations after Kretz (1983) (Qtz: Quartz, Plg: Plagioclase, Hbl: Hornblende, Grt: Garnet, Cal: Calcite, Opq: Opaque and Spn: Sphen).



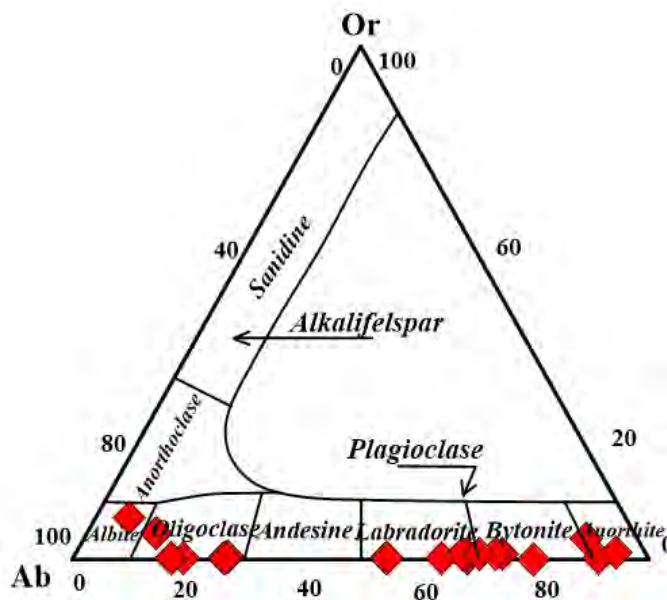
شکل ۴. موقعیت آمفیبول‌های مجموعه دگرگونی-آذرین ماجراد بر روی نمودار A: B_{Na} در برابر $BCa+BNa$ (Leake et al., 1997) B: $Mg/(Mg+Fe^{+2})$ در برابر Si برای تمایز انواع آمفیبول‌ها (Leake, 1965) C: $A(Na+K)(apuf)$ در برابر $Al^{IV}(apuf)$ (Leake et al., 1997) D: Ti در برابر Si برای تمایز آمفیبول‌های دگرگونی از آذرین (Leake, 1965)

Fig. 4. Compositional position of amphibolite of the Majerad igneous- metamorphic complex, A: B_{Na} vs $BCa+BNa$ (Leake et al., 1997), B: $Mg/(Mg+Fe^{+2})$ vs Si for distinction different types of amphiboles (Leake et al., 1997), C: $A(Na+K)(apuf)$ vs. $Al^{IV}(apuf)$ (Leake, 1965), and D: Ti vs. Si for distinction metamorphic amphiboles of igneous (Leake, 1965)

نقطه‌ای قرار گرفته‌اند. با افزایش فشار، سدیم از ساختار پلازیوکلازهای بازیک تا حد وسط و احتمالاً آمفیبول‌ها خارج شده و همراه با عنصری نظیر O, Si, Al, Ca و کمی Al^{IV} در ساختار پلازیوکلازهای سدیک شرکت کرده‌اند. لذا وقفه ترکیبی مشاهده شده در نمودار مثلثی Ab-Or-An ارتباطی به وقفه ترکیبی پلازیوکلاز ندارد و با فرایند تفریق دگرگونی در شرایط اوج دما- فشار دگرگونی مرتبط است.

پلازیوکلاز

فرمول ساختاری پلازیوکلاز بر پایه ۵ کاتیون و ۸ اتم اکسیژن به دست آمده است (Deer et al., 1966). ترکیب پلازیوکلازهای آنالیز شده متابازیت‌های مجموعه دگرگونی- آذرین ماجراد دارای ترکیب الیگوکلاز، لابرادوریت و بیتونیت است (شکل ۵). پلازیوکلازهای غنی از آلبیت (با ترکیب الیگوکلاز تا آلبیت) در واقع پلازیوکلازهایی هستند که از بسته‌های تفریقی دگرگونی (لوکوس‌های تونالیتی) مورد آنالیز



شکل ۵. نمودار مثلثی Ab-Or- An جهت تعیین طیف ترکیبی پلاژیوکلازهای آنالیز شده متعلق به متابازیت های مجموعه آذرین- دگرگونی ماجراد (Deer et al., 1966)

Fig. 5. Ab-Or- An ternary plot for indication of the compositional ranges of analyzed plagioclase of the metabasites of the Majerad igneous-metamorphic complex (Deer et al., 1966)

and Zen, 1986; Hollister et al., 1987; Johnson and Rutherford, 1989; Poli and Schmidt, 1992; Schmidt, 1992) از فشار سنج Al بهره جسته اند. استفاده از این فشار سنج مستلزم شرایطی خاص است. از جمله این شرایط وجود کانی های کوارتز، آلکالی فلدسپار، هورنبلند، بیوتیت، مگنتیت و ایلمنیت به صورت همزیست است. در ضمن زمان انجام آنالیز مایکروپریوب آمفیبول آنالیز شده باید در تماس با پلاژیوکلاز باشد (Poli and Schmidt, 1992; Stein and Dietl, 2001). کلیه این شرایط در سنگ های منطقه مورد بررسی (منطقه ماجراد) صادق است. در جدول ۴ میانگین فشار محاسبه شده از روش های متداول فشار سنجی آمفیبول ارائه شده است.

نمونه های منطقه ماجراد در نمودار $\text{Al}^{\text{IV}}/\text{Al}^{\text{I}}$ روند خطی همانند آنچه همرستروم و زن (Hammerstrom and Zen, 1986) معرفی کرده اند، نشان می دهند (شکل ۶-A). این نمونه ها در نمودار $\text{Fe}^{\text{I}}/\text{Fe}^{\text{I}} + \text{Mg}$ در برابر Al^{I} (Schmidt, 1992) محدوده فشار ۴ تا ۱۱ کیلوبار را به نمایش می گذارند.

بحث
به علت تبلور آمفیبول ها در طیف وسیعی از ترکیب، دما و فشار، این کانی به طور گسترده ای در معادلات دما- فشار سنجی استفاده می شود. به تازگی معادلات تجربی فراوانی توسط پژوهشگران مختلف بر پایه شرایط فیزیکی و شیمیایی تبلور آمفیبول از قبیل دما، فشار، فوگاسیته اکسیژن و ترکیب مذاب سیلیکاته در تعادل Ridolfi et al., 2010, Ridolfi (and Renzuli, 2012, Putirka, 2016) با آمفیبول ارائه شده است. از جمله این معادلات می توان به دما سنجی زوج گارنت- هورنبلند (Graham Holland and Powell, 1984)، پلاژیوکلاز- هورنبلند (Wu et al., 2004), بیوتیت- هورنبلند (Blundy, 1994) گارنت- آمفیبول- پلاژیوکلاز- کوارتز (Kohn and Spear, 1990) و فشار سنجی آمفیبول (Zenk and Erdmannet, 1990) اشاره کرد. Helz, 1979

فشار سنجی آمفیبول
برای محاسبه فشار، پژوهشگران مختلف (Hammerstrom

مجموعه‌های زمین‌ساختی در هم آمیخته^۱ هستند؛ این امکان وجود دارد که برش‌های زمین‌ساختی^۲ با درجات متفاوت دگرگونی در کنار هم قرار گیرند. لذا تغییرات در طیف وسیعی از دما و فشار دگرگونی در این پهنه‌ها امری عادی و منطقی است. به عنوان مثال در بخش غربی منطقه ماجراجاد در مرکز پهنه گسلی برخی از متابازیت‌ها به شدت دگرگشکل شده هستند که آمفیبیول‌های تشکیل شده در سطح سنگ بهوضوح قابل مشاهده هستند؛ در حالی که با دور شدن از پهنه گسلی سنگ‌هایی با ترکیب مشابه هنوز ریزساخت‌های آذرین خود را حفظ کرده‌اند. بررسی‌های دما-فشار‌سنجی در مناطق هم‌جوار مانند منطقه دلبر و شترکوه نیز گواهی بر تشکیل این مجموعه‌های دگرگونی در Balaghi Einalou et al., (2015; Shekari et al., 2017).

چنان‌که در مبحث شیمی کانی بیان شد، ترکیب آمفیبیول‌ها همسو با روند تحولی فرایند دگرگونی از ترکیبات دما-فشار پایین (ترمولیت-اکتینولیت) به سمت ترکیبات دما-فشار بالا (منیزیوهرنبند تا چرماکیت) تغییر کرده است. در شکل (B-۶) محدوده فشار تعادل و توقف تبادلات ژئوشیمیایی برای آمفیبیول‌ها نیز روندی صعودی و مشابه مشاهده می‌شود، به‌طوری‌که فشار از سمت آکتینولیت‌شیست‌ها به سمت آمفیبیول‌ها افزایش می‌یابد. با توجه به شواهد پتروگرافی متابازیت‌های ماجراجاد مانند طیف وسیع اندازه بلورهای آمفیبیول از چند صدم میلی‌متر تا حدود یک سانتی‌متر، طیف ترکیبی گسترده آمفیبیول‌ها (آکتینولیت تا چرماکیت)، همچنین مجموع کانی‌های همزیست این سنگ‌ها همگی بیانگر تشکیل آنها در پهنه وسیعی از دما و فشار است. با توجه به اینکه مجموعه‌های دگرگونی نوپروتروزوئیک پسین در بیشتر مواقع به صورت

جدول ۴. میانگین نتایج فشار تعادلی محاسبه شده برای متابازیت‌های مجموعه آذرین-دگرگونی ماجراجاد

Table 4. Average calculated results of the equilibrium pressure for the metabasites of the Majerad igneous-metamorphic complex.

Barometric method	Barometric equation	Average pressure
Hammerstrom and Zen, 1986	$P(\pm 3\text{Kbar}) = -3.92 + 5.03\text{Al}(\text{total})$	8.2 Kbar
Hollister et al., 1987	$P(\pm 1\text{Kbar}) = -4.76 + 5.64\text{Al}(\text{total})$	8.9 Kbar
Johnson and Rutherford, 1989	$P(\pm 0.5\text{Kbar}) = -3.46 + 4.23\text{Al}(\text{total})$	6.8 Kbar
Schmidt, 1992	$P(\pm 0.6\text{Kbar}) = -3.01 + 4.76\text{Al}(\text{total})$	8.5 Kbar

از آمفیبیول‌های مجموعه دگرگونی-آذرین ماجراجاد در این نمودار گستره دمایی ۶۵۰ تا ۷۰۰ درجه سانتی‌گراد را نشان می‌دهند که با شرایط دما-فشار رخساره آمفیبیولیت بالایی مطابقت می‌کند. همچنین جانمایی نمونه‌های مورد بررسی در نمودار $\text{Al}^{\text{IV}}/\text{Fe}^{\text{I}} + \text{Mg}$ در برابر $\text{Fe}^{\text{I}}/\text{Fe}^{\text{I}}$ نشان‌دهنده فشاری‌خشی

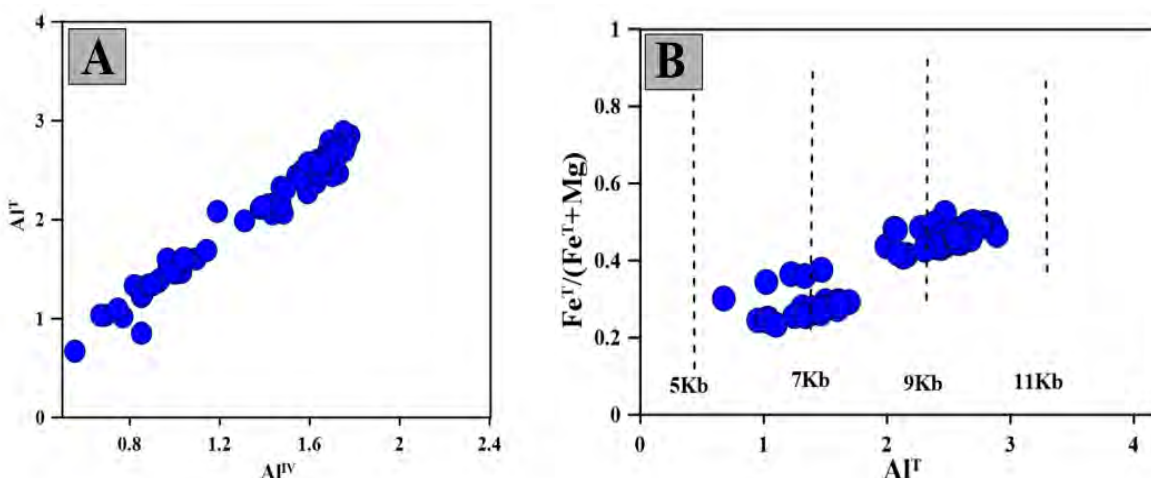
دما‌سنجی آمفیبیول

از روش‌های موجود برای دما‌سنجی می‌توان به دما‌سنجی بر مبنای تغییرات Al^{IV} در برابر Ti اشاره کرد (Ernst and Liu, 1998). محدوده دمایی به دست آمده برای سنگ‌های مورد بحث در شکل A-۷ نشان‌داده شده است. آمفیبیول‌های آنالیز شده

1. Tectonic mélange
2. Slices

شیست سبز تا آمفیولیت بالایی است که با شواهد صحرایی، پتروگرافی و دما-فشارسنجی منطقه همخوانی دارد (شکل ۷-۸). (C)

بالای اکسیژن در زمان تشکیل این سنگ‌هاست (شکل ۷-B). در نمودار Al^{IV} در برابر Ti (Ernst and Liu, 1998) آمفیول‌های مورد بررسی بیانگر شرایط دما-فشار رخساره



شکل ۶: A: روند خطی Al^{I} در برابر Al^{IV} (Hammerstrom and Zen, 1986) برای متابازیت‌های مجموعه دگرگونی-آذرین ماجراد و B: طیف ترکیبی آمفیول‌های متابازیت‌های ماجراد بر روی نمودار $\text{Fe}^{\text{I}}/\text{Fe}^{\text{I}}+\text{Mg}$ در برابر Al^{I} (Schmidt, 1992) (Hammerstrom and Zen, 1986) برای متابازیت‌های مجموعه دگرگونی-آذرین ماجراد و (Schmidt, 1992) آمفیول‌های متابازیت‌های ماجراد بر روی نمودار $\text{Fe}^{\text{I}}/\text{Fe}^{\text{I}}+\text{Mg}$ در برابر Al^{I} (Schmidt, 1992)

های متابازیتی ماجراد بر روی نمودار وینتر (Winter, 2001) مشخص شده است (شکل ۷-C). در این نمودار نیز محدوده دما و فشار محاسبه شده بر رخساره‌های شیست سبز تا آمفیولیت بالایی منطبق است. نتایج به دست آمده در این پژوهش با بررسی‌های دما-فشارسنجی انجام شده در مناطق پی‌سنگی هم‌جوار مانند مجموعه آذرین-دگرگونی شترکوه (دما ۶۰۲ تا ۷۱۱ درجه سانتی گراد و فشار ۹ تا ۱۱ کیلوبار) (Shekari et al., 2017) و مجموعه آذرین-دگرگونی دلبر (دما ۴۸۶ تا ۷۰۶ درجه سانتی گراد و فشار ۶ تا ۱۳ کیلوبار) (Balaghi et al., 2015) همگی بر این نکته اذعان دارند که مجموعه‌های پی‌سنگی جنوب شرق شاهروд در بازه زمانی نوپرتوزوئیک پسین-کامبرین آغازی متحمل دگرگونی شده‌اند که معادل با رخساره شیست سبز تا آمفیولیت بالایی است.

دما-فشارسنجی زوج هورنبلند-پلازیوکلاز
همان‌طور که بیان شد، استفاده از زوج هورنبلند-پلازیوکلاز که بر اساس تبادلات یون‌های Si , Al , Ca , Na و K بین بلورهای همیزیست پلازیوکلاز و هورنبلند استوار است، از موفق‌ترین روش‌ها برای برآورد دما و فشار تشکیل سنگ‌هاست. برای محاسبه دمای تشکیل متابازیت‌های ماجراد، نقاط آنالیز شده به صورت متناظر از هورنبلند و پلازیوکلازهای در تماس با هم انتخاب شده است. همچنین این نقاط از هسته به حاشیه مورد آنالیز قرار گرفته‌اند. مجموع نقاط ۱ تا ۶ از حاشیه پلازیوکلاز با حاشیه آمفیول در تماس با آن و نقاط ۷ و ۸ از مرکز پلازیوکلاز با مرکز آمفیول متناظر انتخاب شده‌اند. میزان دمای محاسبه شده برای آمفیولیت‌های ماجراد ۴۵۴ تا ۶۶۲ درجه سانتی گراد و فشار ۴ تا ۱۱ کیلوبار است. دما و فشار محاسبه شده بر مبنای میزان Ti به ترتیب برابر ۵۶۴ تا ۶۴۸ درجه سانتی گراد است (جدول ۵). محدوده دما و فشار محاسبه شده برای سنگ است (جدول ۵).

جدول ۵. نتایج دما-فشار سنگی زوج آمفیبول-پلازیوکلаз متابازیت‌های مجموعه آذرین-دگرگونی ماجرا

Table 5. Pressure- Temperature results of amphibole – plagioclase pair for the metabasites of the Majerad igneous-metamorphic complex

Point	1	2	3	4	5	6	7	8
SiO₂	41.43	42.39	42.07	42.07	42.11	45.11	49.73	44.43
TiO₂	0.72	0.73	0.38	0.38	0.42	0.68	0.14	0.57
Al₂O₃	14.68	13.50	16.34	16.34	16.21	17.71	7.82	12.42
FeO*	14.38	21.03	15.43	15.43	15.11	15.22	13.26	14.26
MgO	8.65	5.51	0.22	0.22	0.21	0.10	0.22	0.23
MnO	0.16	0.00	8.85	8.85	8.96	9.73	13.21	11.30
CaO	11.34	11.09	11.00	11.00	11.29	10.98	12.04	12.16
Na₂O	1.79	1.78	0.70	0.70	0.70	0.82	0.35	0.42
K₂O	1.32	1.13	0.40	0.40	0.42	0.47	0.22	1.01
XAb	0.68	0.80	0.74	0.73	0.70	0.70	0.06	0.12
X An	0.31	0.20	0.25	0.26	0.29	0.29	0.86	0.83
T (C) HB₂	659.76	612.49	535.23	537.61	545.11	533.60	659.88	662.51
P(Kb) HB₂	9.86	9.28	12.78	12.77	12.62	13.15	3.95	8.11
T - Ti-hbld	644.95	646.08	599.39	599.39	605.29	635.59	564.99	626.47

محدوده بازالت‌های درون‌قاره‌ای و بازالت‌های کافت‌های

درون‌قاره‌ای قرار می‌گیرند (Veiskarami et al., 2018b).

نتایج سن‌سنگی انجام شده بر روی زیرکن‌های استخراج شده از متابازیت‌های ماجرا، سن سازگاری 513 ± 8 میلیون سال

معادل با کامبرین زیرین را نشان می‌دهند (Veiskarami et al., 2018b); ولی گرانیتوئیدهایی که این مجموعه را قطع کرده‌اند، دارای سن $3/8 \pm 553$ هستند (Veiskarami et al., 2017).

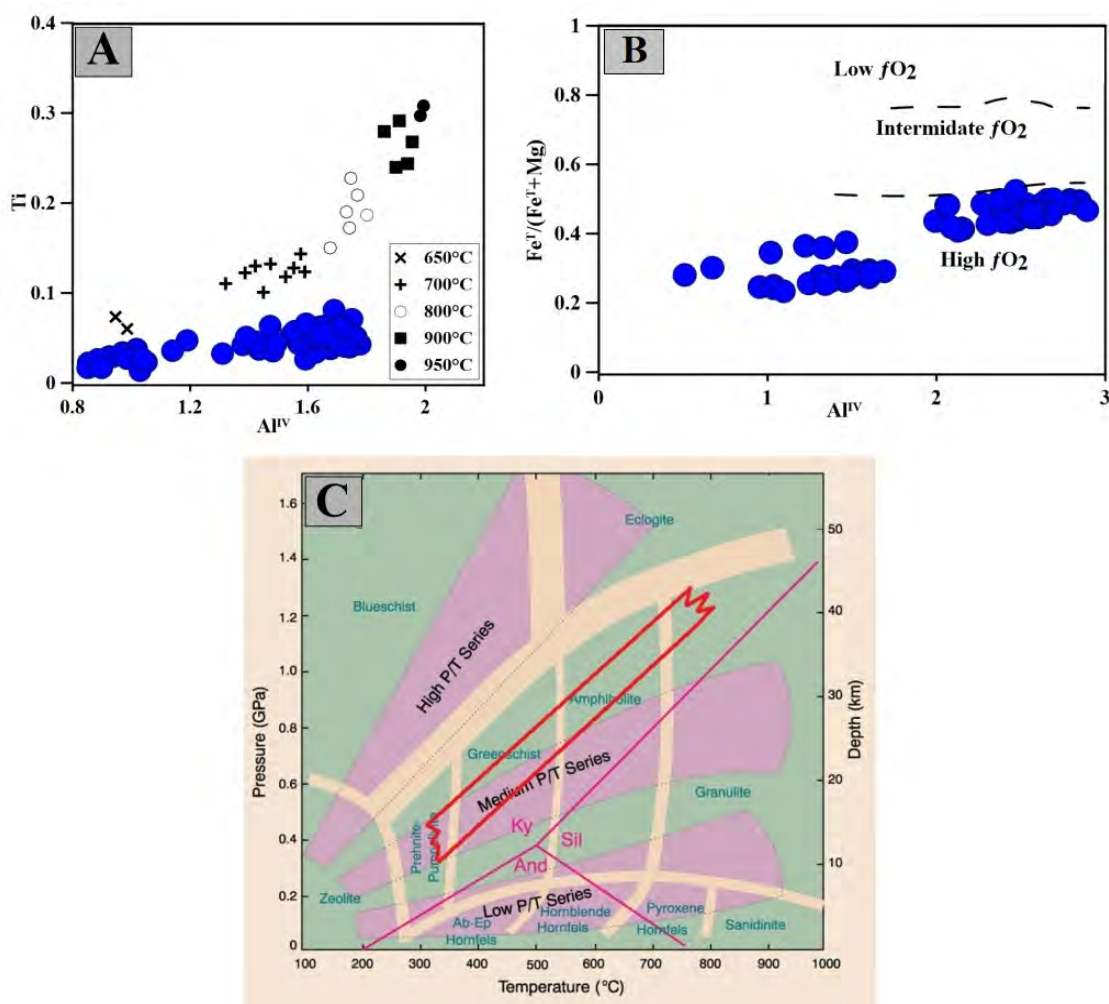
بنابراین، دامنه سنی اوخر نوپرتوزوئیک برای این سنگ‌ها منطقی تر و معقول تر است و اندک اختلاف موجود را می‌توان با حادث بعدی تحمیل شده بر این سنگ‌ها یا تأثیر سیالات گرمابی دگرسان‌کننده بر روی سنگ‌های مورد بررسی مرتبط دانست. در ضمن با توجه به اینکه، سن به دست آمده در واقع سن حادثه دگرگونی را نشان می‌دهد، بنابراین سن سنگ والد

جايكاه زمين‌ساختي سنگ مادر متابازیت‌های ماجرا

با توجه به ترکیبات سنگی مجموعه دگرگونی-آذرین ماجرا و مجموع شواهد صحرایی و پتروگرافی، سنگ‌های مادر این مجموعه دارای طیف ترکیبی متنوعی از شیل، ماسه‌سنگ، آهک، دولومیت، مارن، بازالت، رویلت و آشفشانی-تخربی‌های وابسته بوده که به صورت مجموعه‌های دگرگونی با ترکیب متاپلیت، متاپیسمیت، متاکربنات، متابازیت و متاریولیت در این منطقه رخمنون یافته‌اند. سنگ مادر نمونه‌های متابازیتی ماجرا در شامل روانه‌های بازالتی زیردریایی و سنگ‌های آشفشانی-تخربی وابسته بوده است. برای تشخیص جايكاه زمين‌ساختي سنگ مادر نمونه‌های متابازیتی از نمودار MgO - Al_2O_3 - FeO^T و Th/Hf در برابر Ta/Hf استفاده شد (شکل A-۸ و B). چنان‌که در شکل مشخص است، این سنگ‌ها در

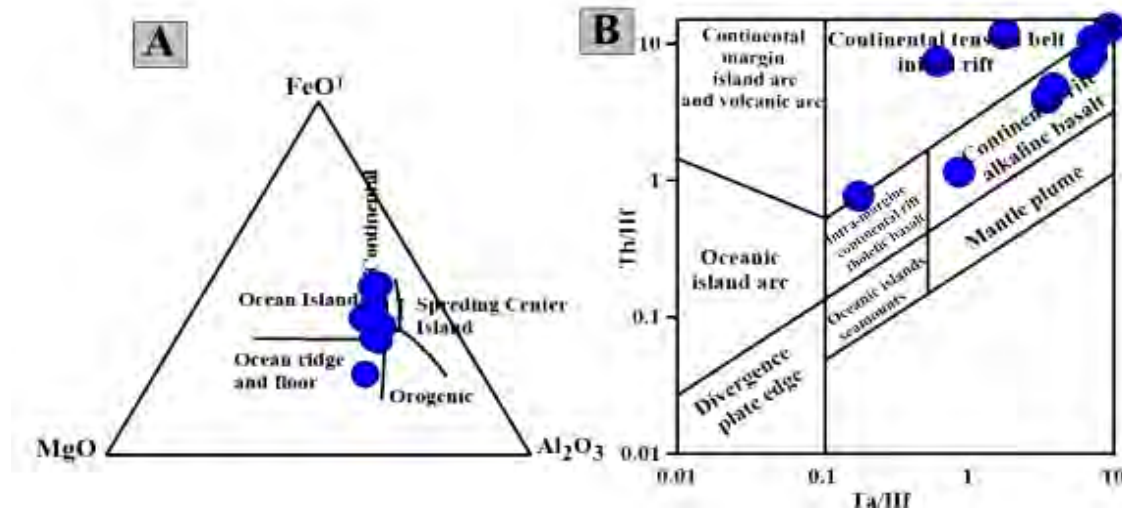
قاره ایران تشکیل شده اند که به استثنای نقاط محدود، اغلب به مرحله توسعه و تشکیل ورقه اقیانوسی گستردگ نرسیده و بر اثر حاکم شدن یک رژیم تراکمی، به سرعت بسته شده است و مجموعه سنگ های درگیر در این فرایندها به صورت منشورهای به هم افزووده در آمده اند و در حاشیه ورقه های قاره ای فرارانده به صورت یک آمیزه زمین ساختی در هم تنبیده در آمده اند.

بازالتی متابازیت ها، بیشتر بوده و در واقع همان دامنه سنی اوخر نئوپروتروزوئیک، منطقی تر به نظر می رسد. نتایج سن سنجی Shekari et al., (2017) و Balaghi Einalou et al., (2017) و بندهزارچاه و دلبر (2014; Hosseini et al., 2015) نیز این نتایج را تأیید می کنند. بنابراین به نظر می رسد که در اوخر نئوپروتروزوئیک، حوضه های کششی درون قاره ای کوچک و بزرگی در خرده



شکل ۷. موقعیت ترکیبی آمفیبول های متابازیت های مجموعه دگرگونی - آذرین ماجراجد بر روی نمودار A: Al^{IV} در برابر Ti , B: Al^{IV} در برابر $\text{Fe}^{\text{IV}}/(\text{Fe}^{\text{IV}}+\text{Mg})$ (Anderson and Smith, 1995) که نشان دهنده فشار بخشی بالا تا متوسط اکسیژن ضمن تشکیل متابازیت هاست و C: نمودار وینتر (Winter, 2001) برای تعیین رخساره دگرگونی و محدوده دما و فشار تشکیل متابازیت ها

Fig. 7. The compositional suites of the amphiboles of metabasites of Majerad igneous – metamorphic complex in A: Al^{IV} vs Ti plot (Ernst and Liu, 1998), B: $\text{Fe}^{\text{IV}}/(\text{Fe}^{\text{IV}}+\text{Mg})$ vs Al^{IV} (Anderson and Smith, 1995) indicates of high to intermediate oxygen pressure during formation of metabasites, and C: Winter Diagram (Winter, 2001) for determination of the metamorphic facies and also temperature - pressure range of the metabasites formation



شکل ۸. A: نمودار مثلثی $\text{MgO}-\text{Al}_2\text{O}_3-\text{FeO}^T$ (Pearce, 1976) و B: نمودار Th/Hf در برابر Ta/Hf (Pearce, 1976) برای تعیین ترکیب سنگ والد متابازیت‌های مجموعه دگرگونی-آذرین ماجرا

Fig. 8. A: Triangle diagram $\text{MgO}-\text{Al}_2\text{O}_3-\text{FeO}^T$ (Pearce, 1976), and B: Th/Hf vs Ta/Hf (Pearce, 1976) plots for determination of the protolith composition of the metasabites of Majerad igneous – metamorphic complex

شامل مجموعه‌ای از سنگ‌های دگرگونی به سن اواخر نشوپر و تروزوئیک است که توسط توالی‌های رسوبی تربیس پایانی-ژوراسیک زیرین پوشیده شده است. متابازیت‌ها از مهم‌ترین سنگ‌های تشکیل‌دهنده این مجموعه هستند. سنگ مادر این متابازیت‌ها، روانه‌های بازالتی زیردریایی و آشفشانی-تخربی‌های وابسته بوده‌اند که در حوضه‌های کششی درون قاره‌ای به سن اواخر نشوپر و تروزوئیک تشکیل شده‌اند. نتایج آنالیز مایکرورپوپ کانی‌ها در آکتینولیت‌شیست‌ها و آمفیبولیت‌ها نشان می‌دهد که آمفیبولهای موجود در آکتینولیت‌شیست‌ها از نوع آکتینولیت و منزیوهوربنلند و در آمفیبولیت‌ها از نوع منزیوهوربنلند و چرم‌ماکیت بوده و در گروه آمفیبولهای کلسیک قرار می‌گیرند. پلاژیوکلازهای موجود در متابازیت‌ها نیز به طور عمده دارای ترکیب الیگوکلاز، لابرادوریت تا بیتونیت هستند. بر اساس داده‌های به دست آمده از نتایج دما-فشار-سنگی آمفیبولهای در تعادل با پلاژیوکلاز، محدوده دمایی ۴۵۴ تا ۶۹۰ درجه سانتی‌گراد و فشار ۱۱ کیلوبار برای متابازیت‌ها نشانگر رخداد دگرگونی ناحیه‌ای

رخمنون بسیار کم و محدود افیولیت‌های قدیمی نظریه شرق جندق (Keyghobadi, 2017; Baluchi et al., 2018) خود شاهدی بر این ادعای است که در اغلب مناطق، حوضه‌های کششی درون قاره‌ای قبل از رسیدن به مرحله زایش پوسته اقیانوسی یا اندکی پس از آن بسته شده‌اند. با توجه به اینکه در بازه‌های سنی اندکی جوان‌تر از اواخر نشوپر و تروزوئیک در ایران محصولات ماقمایی وابسته به زون‌های فرورانش مشاهده نمی‌شود، به‌نظر می‌رسد بخش‌هایی از ورقه‌های اقیانوسی در فرایند بسته‌شدن حوضه‌های مورد نظر سهیم بوده‌اند؛ ولی شرایط دما-فشار، برای ذوب و تشکیل مذاب‌های مربوطه و تشکیل کمان‌های ماقمایی فرورانشی حاصل نشده است. ماقماهای سازنده متابازیت‌ها (آکتینولیت‌شیست و آمفیبولیت) اغلب دارای ماهیت OIB هستند و در واقع از یک خاستگاه گوشه‌ای زیرقاره‌ای نشأت گرفته‌اند. در مناطقی که پوسته اقیانوسی شکل گرفته است، سنگ مادر متابازیت‌ها دارای ماهیت MORB تا تولیتی هستند.

نتیجه‌گیری

مجموعه دگرگونی-آذرین ماجرا واقع در جنوب شرق شاهروند،

سنگ‌ها در بازه زمانی اواخر نوپروتروزوئیک و در ارتباط با فاز کوه‌زایی کادومین بوده است که توالی رسوی-آتش‌شانی اولیه را به مجموعه دگرگونی کنونی یا ترکیب متابازیت، متاپسامیت، متاپلیت و متاریولیت تبدیل کرده است. با توجه به تاریخچه تشکیل حوضه‌های کششی درون قاره‌ای، ماهیت خاستگاهی سنگ مادر متابازیت‌ها از OIB به سمت EMORB و درنهایت MORB متغیر است. مجموعه دگرگونی آذرین ماجراجد، همانند سایر مجموعه‌های دگرگونی اواخر نوپروتروزوئیک ایران در واقع مجموعه‌ای درهم‌ریخته یا آمیزه زمین ساختی است که باید در تعبیر و تفسیر داده‌های ژئوشیمیایی، ایزوتوبی و سن‌سنجی آن، احتیاط زیادی اعمال شود.

پیش‌روندۀ از نوع بارروین در شرایط رخساره‌های شیست‌سیز تا آمفیبولیت بالایی است. با توجه به نوع سنگ در برگیرنده متابازیت‌ها و ویژگی‌های پتروگرافی و صحرایی آنها به نظر می‌رسد که با افزایش دما و فشار ترکیب آمفیبول‌ها از آكتینولیت در آكتینولیت‌شیست‌ها به فروچرماکیت در آمفیبولیت‌ها تحول پیدا کرده است. آكتینولیت‌ها در سنگ‌های متابازیتی با درجه دگرگونی کمتر (آكتینولیت‌شیست و شیست‌های سبز) و فروچرماکیت در سنگ‌های متابازیتی درجه بالاتر (آمفیبولیت‌ها و گارنت آمفیبولیت‌ها) تشکیل شده‌اند. بر اساس نتایج حاصل از سن‌سنجی به روش U-Pb بر روی زیرکن‌های استخراج شده از این متابازیت‌ها، حادثه دگرگونی مهم و اصلی تحمیل شده بر این

References

- Andersen, D.J. and Lindsley, D.H., 1988. Internally consistent solution models for Fe-Mg-Mn-Ti oxides: Fe-Ti oxides. *American Mineralogist*, 73(7–8): 714–726.
- Anderson, J.L. and Smith, D.R., 1995. The effects of temperature and fO_2 on the Al-in-hornblende barometer. *American Mineralogist*, 80(5): 549–559.
- Balaghi Einalou, M., Sadeghian, M., Ghasemi, H., Mohajjal, M. and Omrani, H., 2015. Petrology, Thermo barometry and U-Pb dating of the Metapelites of Delbar Complex Biarjomand (SE of Shahrood). *Petrology*, 21(6): 55–82. (in Persian with English abstract)
- Balaghi Einalou, M., Sadeghian, M., Ghasemi, H., Zhai, M.G., and Mohajjal, M., 2014. Zircon U-Pb ages, Hf isotopes and geochemistry of the schists, gneisses and granites in Delbar Metamorphic-Igneous Complex, SE of Shahrood (Iran): implications for Neoproterozoic geodynamic evolutions of central Iran. *Journal of Asian Earth Sciences*, 92(13): 92–124.
- Baluchi, S., Sadeghian1, M., Ghasemi, H., Zhai M., Li, Ch. and Yanbin, Z., 2018. Mineral chemistry, geochronology and isotopic geochemistry Rb-Sr, Sm- Nd of Ayrakan granite. *Kharazmi Journal of Earth Sciences*, 3(2): 139–160. (in Persian with English abstract)
- Bayat, F. and Torabi, Gh., 2012. Lithology of metabasites of the South of Arousan (NE of Esfahan). *Journal of Economic Geology*, 4(2): 271–284. (in Persian with English abstract)
- Beattie, P., 1993. Olivine-melt and orthopyroxene-melt equilibria. *Contributions to Mineralogy and Petrology*, 115(1): 103–111.
- Bucher, K. and Grapes, R., 2011. Petrogenesis of metamorphic rocks. Springer-Verlag, Berlin-Heiderberg, 441 pp.
- Deer, W. A., Howie, R.A. and Zussman, J., 1966. An introduction to the rock forming minerals. Longman Scientific and Technical, USA, 528 pp.
- Ernst, W.G. and Liu J., 1998. Experimental phase equilibrium study of Al-and Ti-contents of calcic amphibole in MORB-A

- semiquantitative thermobarometer. *American Mineralogist*, 83(9–10): 952–969.
- Faramarzi, N., Amini, S., Schmitt, A., Hassanzadeh, J., Borg, G., McKeegan, K., Razavi, S.M. and Mortazavi, S.M., 2015. Geochronology and geochemistry of rhyolites from Hormuz Island, southern Iran: A new record of Cadomian arc magmatism in the Hormuz Formation. *Lithos*, 236–237(1): 203–211.
- Graham, C. and Powell, R., 1984. A garnet-hornblende geothermometer: calibration, testing, and application to the Pelona Schist, Southern California. *Journal of Metamorphic Geology*, 2(1): 13–31.
- Hammerstrom, J.M. and Zen, E., 1986. Aluminum in hornblende: an empirical igneous geobarometer. *American Mineralogist*, 71(11–12): 1297–1313.
- Hassanzadeh, J., Stockli, D., Horton, B., Axen, G., Stockli, L., Grove, M., Shmitt, A. and Walker, D., 2008. U-Pb zircon geochronology of late Neoproterozoic –Early Cambrian granitoids in Iran: Implications for paleogeography, magmatism, and exhumation history of Iranian basement. *Tectonophysics*, 452(1–4): 71–96.
- Helz, R.T., 1979. Alkali exchange between hornblende and melt: a temperature-sensitive reaction. *American Mineralogist*, 64(9): 953–965.
- Holland, T. and Blundy, J., 1994. Non-ideal interactions in calcic amphiboles and their bearing on amphibole-plagioclase thermometry. *Contributions to Mineralogy and Petrology*, 116(4): 433–447.
- Hollister, L.S., Grissom, G.E., Peters, E.K., Stowell, H.H. and Sisson, V.R., 1987. Confirmation of the empirical correlation of Al in hornblende with pressure of solidification of calc-alkaline plutons. *American Mineralogist*, 72(3–4): 231–239.
- Hosseini, S.H., Sadeghian, M., Zhai, M. and Ghasemi, H., 2015. Petrology, geochemistry and zircon U–Pb dating of Band-e-Hezar Chah metabasites (NE Iran): An evidence for back-arc magmatism along the northern active margin of Gondwana. *Chemie der Erde*, 75(2): 207–218.
- Johnson, M.C. and Rutherford, M.J., 1989. Experimental calibration of an aluminum-in-hornblende geobarometer with application to Long Valley caldera (California) volcanic rocks. *Geology*, 17(9): 837–841.
- Keyghobadi, F., 2017. Geochemistry and geochronology of the metabasites from the Posht-e-Badam region, Central Iran. M.Sc thesis, Damghan University, Damghan, Iran, 115 pp.
- Kohn, M.J. and Spear, F.S., 1990. Two new geobarometers for garnet amphibolites, with applications to southeastern Vermont. *American Mineralogist*, 75(1): 89–96.
- Kretz, R., 1983. Symbols for Rock-Forming Minerals. *American Mineralogist*, 68(1): 277–279.
- Leake, B.E., 1965. The relationship between tetrahedral aluminum and the maximum possible octahedral aluminum in natural calciferous and subcalciferous amphiboles. *American Mineralogist*, 50(7–8): 843–851.
- Leake, B.E., Woolley, A.R., Arps, C.E.S., Birch, W.D., Gilbert, M.C., Grice, J.D., Hawthorne, F.C., Kato, A., Kisch, H.J., Krivovichev, V.G., Linthout, K., Laird, J., Mandarino, J., Maresch, W.V., Nickel, E.H., Schumaker, J.C., Smith, D.C., Stephenson, N.C.N., Ungaretti, L., Whittaker, E.J.W. and Youzhi, G., 1997. Nomenclature of amphiboles: report of the subcommittee on amphiboles of the International Mineralogical Association Commission on New Minerals and Mineral Names. *The Canadian Mineralogist*, 35(1): 219–246.
- Malekpour-Alamdari, A., Axen, G., Heizler, M. and Hassanzadeh, J., 2017. Large-magnitude continental extension in the northeastern Iranian Plateau: Insight from K-feldspar $^{40}\text{Ar}/^{39}\text{Ar}$ thermochronology from the Shotor Kuh–Biarjmand metamorphic core complex. *Geosphere*, 13(4): 1207–1233.
- Martin, R.F., 2007. Amphiboles in the igneous environment. *Reviews in Mineralogy and Geochemistry*, 67(1): 323–358.
- Molina, J.F., Moreno, J.A., Castro, A., Rodriguez, C. and Fershtater, G.B., 2015. Calcic amphibole thermobarometry in metamorphic and igneous rocks: New calibrations based on plagioclase/amphibole Al-Si partitioning and amphibole/liquid Mg partitioning. *Lithos*,

- 232(6): 286–305.
- Monazzami Bagherzadeh, R., Karimpour, M.H., Lang Farmer, G., Stern, C.R., Santos, J.F., Ribirro, S., Rahimi, B. and Heidarian Shahri, M.R., 2016. U-Pb zircon geochronology, petrography, geochemistry and radioisotopes of metarhyolites of the Bornaward Complex (Bardaskan-NE Iran). *Journal of Economic Geology*, 8(1): 239–264. (in Persian with English abstract)
- Pearce, J.A., 1976. Statistical analyses of major element patterns in basalts. *Journal of Petrology*, 17(1): 15–43.
- Poli, S. and Schmidt, M.W., 1992. A comment on calcic amphibole equilibria and a new amphibole-plagioclase geothermometer. *Contributions to Mineralogy and Petrology*, 111(2): 273–278.
- Putirka, K.D., 2008. Thermometers and barometers for volcanic systems. *Reviews in Mineralogy and Geochemistry*, 69(1): 61–120.
- Putirka, K.D., 2016. Amphibole thermometers and barometers for igneous systems and some implications for eruption mechanisms of felsic magmas at arc volcanoes. *American Mineralogist*, 101(4): 841–858.
- Rahmati Ilkhchi, M., Faryad, S.W., Holub, F.V., Kosler, J. and Frank, W., 2011. Magmatic and metamorphic evolution of the Shotur Kuh Metamorphic Complex (central Iran). *International Journal of Earth Sciences*, 100(1): 45–62.
- Ridolfi, F. and Renzulli, A., 2012. Calcic amphiboles in calc-alkaline and alkaline magmas: thermobarometric and chemometric empirical equations valid up to 1130°C and 2.2 GPa. *Contributions to Mineralogy and Petrology*, 163(5): 877–895.
- Ridolfi, F., Renzulli, A. and Puerini, M., 2010. Stability and chemical equilibrium of amphibole in calc-alkaline magmas: an overview, new thermobarometric formulations and application to subduction-related volcanoes. *Contributions to Mineralogy and Petrology*, 160(1): 45–66.
- Robinson, P., 1982. Chapter 1, Phase relations of metamorphic amphiboles; natural occurrence and theory; Internal limits in amphibole composition space; coexisting amphiboles; calcic amphiboles and orthoamphiboles; exsolution lamellae. *Reviews in Mineralogy and Geochemistry*, 9B(1): 62–63.
- Schmidt, M.W., 1992. Amphibole composition in tonalite as a function of pressure: an experimental calibration of the Al in hornblende barometer. *Contributions to Mineralogy and Petrology*, 110 (2–3): 304–310.
- Shekari, S., Sadeghian, M., Zhai, M., Ghasemi, H. and Zou, Y., 2017. Mineral chemistry and petrogenesis of metabasites of metamorphic-igneous Shotur-Kuh complex (SE Shahrood) an indicator for evolution of intracontinental extensional basins of late Neoproterozoic. *Geosciences*, 27(105): 167–182. (in Persian with English abstract)
- Spear, F.S., 1993. Metamorphic phase equilibria and pressure-temperature-time paths. Monograph (Mineralogical Society of America), America, 799 pp.
- Stein, E. and Dietl, C., 2001. Hornblende thermobarometry of granitoids from the Central Odenwald (Germany) and their implications for the geotectonic development of Odenwald. *Mineralogy and Petrology*, 72(1–3): 185–207.
- Veiskarami, M., Sadeghian, M., Ghasemi, H. and Zhai, M., 2018a. Majerad gabbro-diorites in the southeast of Shahrood: An evidence to the starting of opening of the supra-subduction basin of the Sabzevar Neotethyan branch in the middle Jurassic. *Kharazmi Journal of Earth Sciences*, in press. (In Persian with English abstract).
- Veiskarami, M., Sadeghian, M., Ghasemi, H. and Zhai, M., 2018b. Petrology, geochemistry and dating of the Late Neoproterozoic metabasites of the Majerad metamorphic complex (SE of Shahrood): One step to understanding of the geodynamic evolutions of Iranian Gondwanan terranes. *Iranian Journal Crystallography and Mineralogy*, 27(1): 191–206. (in Persian with English abstract)
- Veiskarami, M., Sadeghian, M. and Shekari, S., 2017. Geochronology of late Neoproterozoic granitoids of the north Kandu sheepcote (South Do Chah – Southeast Shahrood), 24th symposium of crystallography and mineralogy of Iran, Shahrood University of Technology, Shahrood, Iran.

- Winter, J.D., 2001. An introduction to igneous and metamorphic petrology. Prentice Hall, New Jersey, 697 pp.
- Wu, C., Zhang, J. and Ren, L., 2004. Empirical Garnet-Biotite- Plagioclase-Quartz (GBPQ) geobarometry in medium to high-grade metapelites. *Journal of Petrology*, 45(9):1907–1921.
- Zenk, M. and Schulz, B., 2004. Zoned Ca-amphiboles and related P-T evolution in metabasites from the classical Barrovian metamorphic zones in Scotland. *Mineralogical Magazine*, 68(5): 769–786.



Mineral chemistry and geothermobarometry of metabasites of the Majerad igneous-metamorphic complex (SE of Shahrood)

Marzieh Veiskarami^{1*}, Mahmoud Sadeghian¹, Habibollah Ghasemi¹ and Minggou Zhai²

1) Department Petrology and Economic Geology, Faculty of Earth Sciences, Shahrood University of Technology, Shahrood, Iran

2) Department of Petrology, Institute of Geology and Geophysics, Chinese Academy of Sciences, Beijing, China

Submitted: June 22, 2018

Accepted: Jan. 01, 2019

Keywords: Metabasite, Late Neoproterozoic, Mineral chemistry, Thermobarometry, Amphibole, Plagioclase, Shahrood

Introduction

Thermobarometric models based on the chemical equilibrium among coexisting mineral-mineral or mineral-melts pairs are useful tools widely used to estimate the P-T path and chemical evolution during igneous processes. The high sensitivity of amphibole to physicochemical changes makes it a good tracer for thermobarometric models. Majerad Igneous-Metamorphic Complex with NE-SW trend, 40 kilometer length, and 10 kilometer width is located in the southeast of Shahrood in the northern margin of the Central Iran structural zone. Late Neoproterozoic sequence of Majerad metamorphic complex includes a wide range of metamorphic rocks with extensive compositional variety of metacarbonate, metapsammite, metapelite, metabasite and metarhyolite. Metabasites of the Majerad metamorphic complex consist of a greenschist to garnet amphibolite. Late Iranian Neoproterozoic complexes have been studied by numerous researchers, and a lot of papers have been published related to them (Rahmati Ilkhchi et al., 2011; Balaghi Einalou et al., 2014; Faramarzi et al., 2015; Hosseini et al., 2015; Malekpour-Alamdar et al., 2017). These complexes have cropped out in the different parts of Iran, except the Kopeh Dagh, Makran and the East Iran Flysch structural zones.

Analytical methods

The whole-rock major element compositions were

determined by X-ray fluorescence using fused glass disks at the Institute of Geology and Geophysics, Chinese Academy of Sciences, Beijing, China. Trace elements were determined by ICP-MS (Agilent 7500a) at IGGCAS after more than 5-day acid digestion of samples in Teflon bombs. Compositional mineral analyses were performed at the State Key Laboratory of Continental Dynamics, Northwest University, Xian China, using a Cameca JXA-8230 instrument at an acceleration voltage of 15 KV, and beam current of 10 nA.

Results

In the metamorphic environment, aluminous hornblende-bearing assemblages are stable over a wide P-T field that extends from amphibolite to granulite, and high-T eclogite-facies conditions. At lower temperatures, the hornblendic amphibole is replaced by sodic-calcic amphibole at relatively high-P and by actinolite at lower-pressure greenschist-facies conditions (Spear, 1993; Ernst and Liu, 1998; Molina et al., 2015).

Amphibole formulas were calculated with the Amp-Excels spreadsheet using the 13 cations method (Leake et al., 1997). Amphiboles of metabasites are calcic, and Amphiboles of actinolite-schists are in the range of actinolite to magnesio-hornblende, and in amphibolites, they are plotted in the range of magnesio-hornblende to tschermakite. Plagioclase are usually oligoclase to

*Corresponding authors Email: veiskaramim@gmail.com

DOI: <https://doi.org/10.22067/econg.v11i4.73682>

bytownite.

Temperatures range of metamorphism events of amphibolites of the Majerad complex have been estimated by using the hornblende-plagioclase thermometer. This thermometer is based on the Ca and Na equilibrium exchange between plagioclase and amphibole (Holland and Blundy, 1994). The hornblende-plagioclase pair thermobarometer estimates temperatures of 450 to 690°C and pressures of 4 to 11 Kb for the formation of the Majerad amphibolites. These temperature-pressure ranges correlate with P-T conditions of the greenschist and amphibolite facies in the typical Barrovian type metamorphism.

References

- Balaghi Einalou, M., Sadeghian, M., Ghasemi, H., Zhai, M.G., and Mohajjel, M., 2014. Zircon U–Pb ages, Hf isotopes and geochemistry of the schists, gneisses and granites in Delbar Metamorphic-Igneous Complex, SE of Shahrood (Iran): implications for Neoproterozoic geodynamic evolutions of central Iran. *Journal of Asian Earth Sciences*, 92(13): 92–124.
- Ernst, W.G. and Liu J., 1998. Experimental phaseequilibrium study of Al-and Ti-contents of calcic amphibole in MORB-A semiquantitative thermobarometer. *American Mineralogist*, 83(9–10): 952–969.
- Faramarzi, N., Amini, S., Schmitt, A., Hassanzadeh, J., Borg, G., McKeegan, K., Razavi, S.M. and Mortazavi, S.M., 2015. Geochronology and geochemistry of rhyolites from Hormuz Island, southern Iran: A new record of Cadomian arc magmatism in the Hormuz Formation. *Lithos*, 236–237(1): 203–211.
- Holland, T. and Blundy, J., 1994. Non-ideal interactions in calcic amphiboles and their bearing on amphibole-plagioclase thermometry. *Contributions to Mineralogy and Petrology*, 116(4): 433–447.
- Hosseini, S.H., Sadeghian, M., Zhai, M. and Ghasemi, H., 2015. Petrology, geochemistry and zircon U–Pb dating of Band-e-Hezar Chah metabasites (NE Iran): An evidence for back-arc magmatism along the northern active margin of Gondwana. *Chemie der Erde*, 75(2): 207–218.
- Leake, B.E., Woolley, A.R., Arps, C.E.S., Birch, W.D., Gilbert, M.C., Grice, J.D., Hawthorne, F.C., Kato, A., Kisch, H.J., Krivovichev, V.G., Linthout, K., Laird, J., Mandarino, J., Maresch, W.V., Nickel, E.H., Schumaker, J.C., Smith, D.C., Stephenson, N.C.N., Ungaretti, L., Whittaker, E.J.W. and Youzhi, G., 1997. Nomenclature of amphiboles: report of the subcommittee on amphiboles of the International Mineralogical Association Commission on New Minerals and Mineral Names. *The Canadian Mineralogist*, 35(1): 219–246.
- Malekpour-Alamdari, A., Axen, G., Heizler, M. and Hassanzadeh, J., 2017. Large-magnitude continental extension in the northeastern Iranian Plateau: Insight from K-feldspar $^{40}\text{Ar}/^{39}\text{Ar}$ thermochronology from the Shotur Kuh–Biarjmand metamorphic core complex. *Geosphere*, 13(4): 1207–1233.
- Molina, J.F., Moreno, J.A., Castro, A., Rodriguez, C. and Fershtater, G.B., 2015. Calcic amphibole thermobarometry in metamorphic and igneous rocks: New calibrations based on plagioclase/amphibole Al-Si partitioning and amphibole/liquid Mg partitioning. *Lithos*, 232(6): 286–305.
- Rahmati Ilkhchi, M., Faryad, S.W., Holub, F.V., Kosler, J. and Frank, W., 2011. Magmatic and metamorphic evolution of the Shotur Kuh Metamorphic Complex (central Iran). *International Journal of Earth Sciences*, 100(1): 45–62.
- Spear, F.S., 1993. Metamorphic phase equilibria and pressure-temperature-time paths. Monograph (Mineralogical Society of America), America, 799 pp.